

## ЭКСПЕРИМЕНТАЛЬНОЕ И ТЕОРЕТИЧЕСКОЕ ИССЛЕДОВАНИЕ УСТОЙЧИВОСТИ ЛИНЕЙНОГО ВИХРЯ С ДЕФОРМИРОВАННЫМ ЯДРОМ

В. А. Владимиров, Л. Я. Рыбак, В. Ф. Тарасов

(Новосибирск)

В работе описаны эксперименты и математическая модель неустойчивости линейного вихря, подверженного деформации так, что линии тока оказываются близки к эллипсам с малыми эксцентриситетами. Опыты проводились с течением типа стокрового вихря в цилиндрическом сосуде эллиптического сечения. Измерены длины волн и скорости вращения неустойчивых мод. Предложена аналитическая модель неустойчивости, основанная на линейной теории с применением теории возмущений по малости деформации. Согласно этой модели, механизм наблюдаемой неустойчивости аналогичен неустойчивости волны конечной амплитуды при трехволновом взаимодействии [1,2]. Предсказания модели неплохо объясняют результаты экспериментов.

Представленные опыты могут рассматриваться как обобщение экспериментов [3, 4] по устойчивости начально твердотельного вращения внутри эллиптического цилиндра после его остановки. Предлагаемая теория явления также может рассматриваться как обобщение работы [5], в которой исследовался вопрос устойчивости линейного вихря в безграничной жидкости. Ядро вихря считалось подверженным деформации так, что форма его поперечного сечения близка к эллипсу с малым эксцентриситетом. Метод решения [5] используется ниже. В [3, 4] теория для уже упомянутых экспериментов строилась на основе предположения о постоянстве завихренности. В отличие от данной работы применялся метод Галеркина. Таким образом, результаты [3—5] являются двумя различными предельными случаями рассматриваемой задачи.

1. Рассмотрим плоское стационарное течение идеальной жидкости, представляющее собой линейный вихрь с ядром постоянной завихренности, находящийся внутри цилиндрического сосуда. Вне ядра течение потенциально. Формы линий тока и границы нормального сечения сосуда мало отличаются от окружностей. Мерой этого отличия служит величина  $\varepsilon \ll 1$ . В цилиндрической системе координат  $(r, \theta, z)$  зададим течение в виде разложений по степеням параметра  $\varepsilon$ :

$$(1.1) \quad \left. \begin{aligned} U(r, \theta) &= -\varepsilon r \sin 2\theta + O(\varepsilon^2), \\ V(r, \theta) &= r - \varepsilon r \cos 2\theta + O(\varepsilon^2), \\ P(r, \theta) &= (1/2)r^2 + O(\varepsilon^2), \end{aligned} \right\} 0 < r \leq R_1(\theta),$$

$$\Phi(r, \theta) = \theta - (\varepsilon/4)(r^2 - r^{-2}) \sin 2\theta + O(\varepsilon^2), \quad R_1(\theta) \leq r \leq R_2(\theta),$$

где  $R_1(\theta)$ ,  $R_2(\theta)$  дают границы ядра завихренности и сосуда:

$$(1.2) \quad \begin{aligned} R_1(\theta) &= 1 + (\varepsilon/2) \cos 2\theta + O(\varepsilon^2), \\ R_2(\theta) &= b[1 + (\varepsilon/4)B \cos 2\theta + O(\varepsilon^2)]. \end{aligned}$$

Через  $U$ ,  $V$ ,  $P$  обозначены радиальная и угловая компоненты скорости и давление внутри ядра завихренности;  $\Phi$  — потенциал скорости вне этого ядра;  $b$  — постоянная, равная радиусу сосуда в нулевом приближении ( $b \geq 1$ );  $B = b^2 + b^{-2}$ . Используется система единиц, в которой завихренность в ядре равна двум, а невозмущенный радиус ядра — единице. В (1.1), (1.2) явно выписаны первые два члена разложения точного решения, полученного в [6] (цит. по [5]). Эти разложения могут быть получены и непосредственным решением уравнений движения последовательными приближениями с выполнением условий непротекания при  $r = R_2(\theta)$ .

Если отбросить члены порядка  $\varepsilon^2$  и выше, вид функции  $R_2(\theta)$  совпадет с аналогичным представлением для эллипса с малым эксцентриситетом. Пусть  $a_0$  и  $b_0$  ( $a_0 > b_0$ ) — полуоси этого эллипса. Тогда

$$(1.3) \quad b^2 = 2a_0^2 b_0^2 / (a_0^2 + b_0^2), \quad \varepsilon = \frac{2\varepsilon_0}{B}, \quad \varepsilon_0 \equiv \frac{a_0^2 - b_0^2}{a_0^2 + b_0^2}.$$

Отметим, что параметр малости  $\epsilon_0$  определяется только геометрией сосуда, а  $\epsilon$  — также и отношением  $b$  размеров сосуда и ядра вихря.

Перейдем к формулировке задачи устойчивости течения (1.1), (1.2). Поведение бесконечно малых возмущений описывается линеаризованной системой уравнений движения. Для области внутри ядра завихренности эти уравнения имеют вид

$$(1.4) \quad \begin{aligned} Lu + \frac{\partial U}{\partial r} u + \frac{1}{r} \frac{\partial U}{\partial \theta} v - \frac{2Vv}{r} &= -\frac{\partial p}{\partial r}, \\ Lv + \frac{\partial V}{\partial r} u + \frac{1}{r} \frac{\partial V}{\partial \theta} v + \frac{1}{r} (Uv + Vu) &= -\frac{1}{r} \frac{\partial p}{\partial \theta}, \\ Lw &= -\frac{\partial p}{\partial z}, \frac{\partial u}{\partial r} + \frac{u}{r} + \frac{1}{r} \frac{\partial v}{\partial \theta} + \frac{\partial w}{\partial z} = 0, \end{aligned}$$

для области снаружи ядра

$$(1.5) \quad \Delta \varphi = 0.$$

Через  $u, v, w, p, \varphi$  обозначены поля возмущений  $r, \theta, z$ -компонент скорости, давления и потенциала скорости,  $L = \partial/\partial t + U\partial/\partial r + (1/r)V\partial/\partial \theta$ . Граничные условия для возмущений состоят в требовании непротекания при  $r = R_z(\theta)$ , отсутствии особенностей при  $r = 0$  и выполнении кинематического и динамического условий на границе между ядром завихренности и потенциальным потоком. Вид этих условий громоздок и в данной работе не приводится.

Пользуясь независимостью основного течения (1.1) от  $z$  и  $t$ , полагаем

$$(1.6) \quad (u, v, w, p, \varphi) = (u_a, v_a, w_a, p_a, \varphi_a) e^{\omega t + ikz}$$

с амплитудами  $u_a, v_a, w_a, p_a, \varphi_a$ , зависящими только от  $r$  и  $\theta$ . После подстановки (1.6) в (1.4), (1.5) и граничные условия получаем задачу на определение амплитуды и собственных значений  $\omega$ . Если существует хотя бы одно  $\omega$  с  $\text{Re} \omega > 0$ , то течение неустойчиво.

2. Задача определения собственных значений  $\omega$  в сформулированной постановке очень сложна и будет решаться методом последовательных приближений с учетом малости величины  $\epsilon$ . Вычисления проделаны для нулевого и первого приближений.

Предполагая решения аналитическими функциями  $\epsilon$  (в окрестности  $\epsilon = 0$ ), выпишем их в виде рядов ( $v = 0, 1, 2, \dots$ )

$$(2.1) \quad (u_a, v_a, w_a, p_a, \varphi_a, \omega) = \sum_{v=0}^{\infty} \epsilon^v (u_v, v_v, w_v, p_v, \varphi_v, \omega_v).$$

Кроме того, положим  $k = k_0 + \epsilon k_1$ . Последнее представление принято потому, что величина  $k_0$  удовлетворяет некоторой совокупности дисперсионных соотношений и случаям неустойчивости будет соответствовать дискретный набор значений  $k_0$ . Величина  $k_1$  позволит рассматривать значения  $k$ , близкие к  $k_0$ . Подстановка (2.1) в (1.4), (1.5) и приравнивание членов при одинаковых степенях  $\epsilon$  дают

$$(2.2) \quad \left. \begin{aligned} L_0 u_v - 2v_v + \frac{\partial p_v}{\partial r} &= G_{1v}, \\ L_0 v_v + 2u_v + \frac{1}{r} \frac{\partial p_v}{\partial \theta} &= G_{2v}, \\ L_0 w_v + ik_0 p_v &= G_{3v}, \\ \frac{\partial u_v}{\partial r} + \frac{u_v}{r} + \frac{1}{r} \frac{\partial v_v}{\partial \theta} + ik_0 w_v &= G_{4v}, \end{aligned} \right\} 0 < r < 1,$$

$$\frac{\partial^2 \varphi_v}{\partial r^2} + \frac{1}{r} \frac{\partial \varphi_v}{\partial r} + \frac{1}{r^2} \frac{\partial^2 \varphi_v}{\partial \theta^2} - k_0^2 \varphi_v = G_{5v}, \quad 1 < r < b.$$

Здесь  $L_0 \equiv -\omega_0 + \partial/\partial \theta$ . При  $v = 0$  правые части  $G_{10} = 0$  для всех  $l$  ( $l = 1, 2, 3, 4, 5$ ). В уравнениях первого приближения ( $v = 1$ )  $G_{11}$  содержат

линейно функции нулевого приближения, а при  $l = 1, 2, 3$  — также линейно величину  $\omega_1$ :

$$G_{11} \equiv \omega_1 u_0 + (r \partial u_0 / \partial r + u_0) \sin 2\theta + (\partial u_0 / \partial \theta) \cos 2\theta.$$

Кинематическое и динамическое граничные условия для нулевого и первого приближений при  $r = 1$  имеют вид

$$(2.3) \quad \begin{aligned} \frac{\partial \varphi_0}{\partial r} - u_0 &= 0, \quad p_0 + \omega_0 \varphi_0 + \frac{\partial \varphi_0}{\partial \theta} = 0, \\ \frac{\partial \varphi_1}{\partial r} - u_1 &= \left( -\frac{\partial \varphi_0}{\partial \theta} + v_0 \right) \sin 2\theta + \frac{1}{2} \left( -\frac{\partial^2 \varphi_0}{\partial r^2} + \frac{\partial u_0}{\partial r} \right) \cos 2\theta, \\ p_1 + \omega_0 \varphi_1 + \frac{\partial \varphi_1}{\partial \theta} &= -\omega_1 \varphi_0 + \frac{\partial \varphi_0}{\partial r} \sin 2\theta + \\ &+ \frac{1}{2} \left( 2 \frac{\partial \varphi_0}{\partial \theta} - \omega_0 \frac{\partial \varphi_0}{\partial r} - \frac{\partial^2 \varphi_0}{\partial r \partial \theta} - \frac{\partial p_0}{\partial r} \right) \cos 2\theta. \end{aligned}$$

Условие непротекания на границе цилиндра при  $r = b$  приводит к условиям:

$$(2.4) \quad \frac{\partial \varphi_0}{\partial r} = 0, \quad \frac{\partial \varphi_1}{\partial r} = -\frac{B}{2} \left[ \frac{b}{2} \cos 2\theta \frac{\partial^2 \varphi_0}{\partial r^2} + \frac{1}{b} \sin 2\theta \frac{\partial \varphi_0}{\partial \theta} \right],$$

которые обычным образом «снесены» с реальных границ (1.2) на близкие к ним окружности  $r = 1$  и  $r = b$ . Еще одно условие состоит в ограниченности решений любого приближения при  $r = 0$ .

3. Рассмотрим задачу (2.2)–(2.4) нулевого приближения. Ее решения представляют собой инерционные волны на линейном вихре с круговым ядром постоянной завихренности. Граница сосуда — окружность  $r = b$ . Эти волны при  $b = \infty$  изучались еще Кельвином [7]. Для гармоник, пропорциональной  $e^{im\theta}$ , из (2.2) получаем

$$(3.1) \quad \begin{aligned} p_0 &= \beta J_m(\eta_m r) e^{im\theta} \quad \text{при } 0 < r < 1, \\ \varphi_0 &= \alpha \Psi_m(k_0 r) e^{im\theta} \quad \text{при } 1 < r < b, \end{aligned}$$

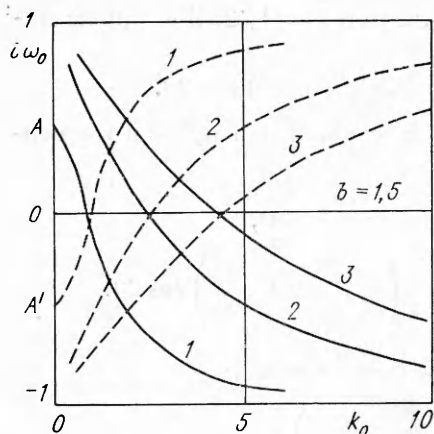
где  $\Psi_m(x) \equiv K_m(x) - \kappa_m I_m(x)$ ;  $\kappa_m \equiv K'_m(k_0 b) / I'_m(k_0 b)$ ;  $K'_m(x) \equiv dK_m(x)/dx$ ;  $J_m, N_m, K_m, I_m$  — функции Бесселя, Неймана и модифицированные функции Бесселя индекса  $m$ ;  $\alpha, \beta$  — комплексные постоянные;  $\eta_m^2 \equiv -k_0^2 \Delta_m / \sigma_m^2$ ;  $\Delta_m \equiv \sigma_m^2 + 4$ ;  $\sigma_m \equiv \omega_0 + im$ . В (3.1) учтены граничное условие при  $r = b$  и отсутствие особенностей при  $r = 0$ . Привлечение граничных условий при  $r = 1$  (2.3) дает дисперсионную связь между  $\omega_0$  и  $k_0$ :

$$(3.2) \quad k_0 J_m \Psi'_m(k_0) - \frac{\alpha_m}{\Delta_m} \Psi_m(k_0) [\sigma_m \eta_m J'_m + 2im J_m] = 0,$$

где  $J_m \equiv J_m(\eta_m)$ . Постоянные  $\alpha$  и  $\beta$  также оказываются связанными. Можно показать, что спектр  $i\omega_0$ , задаваемый (3.2), веществен и  $m - 2 < i\omega_0 < m + 2$ .

4. Для задачи (2.2)–(2.4) первого приближения вид решений и значение  $\omega_1$  могут быть получены при помощи несложных, но громоздких вычислений. Смысл их сводится к определению поправок к инерционным волнам (3.1), обусловленных отличием геометрии от круговой. Наиболее сложным этапом является решение неоднородных уравнений (2.2). Поскольку аналогичные вычисления проделывались в [5] для случая  $b = \infty$ , не останавливаясь на них, изложим результаты.

Если выбрать нулевое приближение в форме гармоники (3.1) с любым  $m$ , то величина  $\omega_1$  всегда чисто мнимая. Это соответствует устойчивости в первом приближении. Более содержателен случай вырождения, когда возмущение нулевого приближения, характеризующееся частотой  $\omega_0$  и волновым вектором  $k_0$ , имеет вид суперпозиции нескольких мод с различными  $m(m_1$  и  $m_2)$ . Для этого случая показано, что если  $m_1 - m_2 \neq \pm 2$ , то  $\omega_1$



Ф и г. 1

Здесь функции  $p_0$  и  $q_0$  определены при  $0 < r < 1$  и  $1 < r < b$  соответственно;  $\alpha, \bar{\alpha}, \beta, \bar{\beta}$  — комплексные постоянные; черта сверху обозначает независимую величину, а не операцию комплексного сопряжения;  $n$  — произвольное целое число.

Ниже будем изучать неустойчивость только на аналитически самом простом примере  $n = 0$ . Этот случай соответствует возмущениям с изгибом оси вращения и оказывается наиболее важным с точки зрения экспериментальной реализации. Результаты для  $n \neq 0$  в случае  $b = 1$  изложены в [8]. Сделаем несколько пояснений о значениях  $(\omega_0, k_0)$ , при которых возможно вырождение (4.1). Дисперсионные соотношения для входящих при  $n = 0$  в (4.1) гармоник даются подстановкой  $m = \pm 1$  в (3.2). В силу вырождения рассматриваются точки пересечения кривых (3.2) с  $m = 1$  и  $m = -1$  на плоскости  $k_0, i\omega_0$ . Пересекающиеся семейства этих кривых сосредоточены на полосе  $-1 < i\omega_0 < 1$ ; их вид для  $b = 1,5$  приведен на фиг. 1. Сплошные линии соответствуют гармонике  $m = 1$ , штриховые — гармонике  $m = -1$ . На фиг. 1 приведено только по три первых из счетного набора кривых для каждой гармоники, номера кривых соответствуют числу нулей функции  $u_0(r)$  на  $0 < r \leq b$ . Каждую точку пересечения обозначим парой целых чисел  $(q; s)$ , соответствующих номерам пересекающихся кривых семейств  $m = 1$  и  $m = -1$ . Точки с  $q = s$ , как и в [8], назовем главными точками пересечения, с  $q \neq s$  — боковыми точками пересечения. Кривые  $m = \pm 1$  получаются друг из друга отражением относительно оси  $i\omega_0 = 0$ , поэтому главные точки пересечения находятся на этой оси. Через  $A$  и  $A'$  на фиг. 1 обозначены точки нулевых кривых, соответствующие плоским полям возмущений ( $k_0 \rightarrow 0$ ). Расстояние от  $A$  и  $A'$  до начала координат равно  $1/b^2$ . При  $b = \infty$  эти кривые выходят из точки  $i\omega_0 = 0, k_0 = 0$ , при  $b = 1$  — из точек  $i\omega_0 = \pm 1, k_0 = 0$ . Сводка координат точек пересечения для  $b = 1; 1,5; 2; 4; 6$  дана в табл. 1, в каждой клетке которой верхнее число дает значение  $i\omega_0$ , нижнее —  $k_0$ .

Вычисления величины  $\omega_1$  в точках вырождения  $(i\omega_0, k_0)$  дают

$$(4.2) \quad \omega_1 = -\frac{1}{2} k_0 k_1 (c + \bar{c}) \pm \sqrt{\omega_{\max}^2 + \left[ \frac{1}{2} k_0 k_1 (c - \bar{c}) \right]^2},$$

где  $c \equiv g/f; \bar{c} \equiv \bar{g}/\bar{f}; \omega_{\max}^2 \equiv h\bar{h}/f\bar{f}$ ; через  $f, \bar{f}, g, \bar{g}, h, \bar{h}$  обозначены различные функции величин  $i\omega_0, k_0, b$ , вид которых приведен в приложении. Из (4.2) следует, что неустойчивость ( $\text{Re } \omega_1 > 0$ ) может иметь место, если

$$\omega_{\max}^2 > -[(1/2) k_0 k_1 (c - \bar{c})]^2.$$

Поскольку  $c$  и  $\bar{c}$  — чисто мнимые величины, наибольший декремент роста  $\omega_1 = \omega_{\max}$  достигается при  $k_1 = 0$ . При этом неустойчивым оказывается

опять чисто мнимая. Неустойчивость ( $\text{Re } \omega_1 > 0$ ) может иметь место только при  $m_1 - m_2 = \pm 2$ . Этот результат является следствием угловой зависимости основного течения (1.1), входящего в первые части (2.2). Из вида спектра задачи нулевого приближения п. 3 следует, что вырождение в этом случае может быть лишь двукратным и «опасные» возмущения в нулевом приближении имеют вид

$$(4.1) \quad p_0 = \beta J_{n+1}(\eta_{n+1}r) e^{i(n+1)\theta} + \bar{\beta} J_{n-1}(\eta_{n-1}r) e^{i(n-1)\theta}, \\ q_0 = \alpha \Psi_{n+1}(k_0 r) e^{i(n+1)\theta} + \bar{\alpha} \Psi_{n-1}(k_0 r) e^{i(n-1)\theta}.$$

Таблица 1

Точки пересечения \ b	1	1,2	1,5	2	4	6
(1; 1)	0,0 1,579	0,0 1,245	0,0 0,878	0,0 0,573	0,0 0,229	0,0 0,140
(2; 2)	0,0 3,286	0,0 2,761	0,0 2,552	0,00 2,508	0,0 2,505	0,0 2,505
(3; 3)	0,0 5,061	0,0 4,457	0,0 4,356	0,0 4,349	0,0 4,349	0,0 4,349
(1; 2)	0,292 2,203	0,297 1,789	0,342 1,488	0,386 1,324	0,406 1,264	0,406 1,264
(1; 3)	0,435 2,630	0,449 2,185	0,495 1,907	0,522 1,778	0,528 1,750	0,528 1,750
(2; 3)	0,165 4,046	0,174 3,481	0,185 3,323	0,186 3,301	0,187 3,300	0,187 3,300

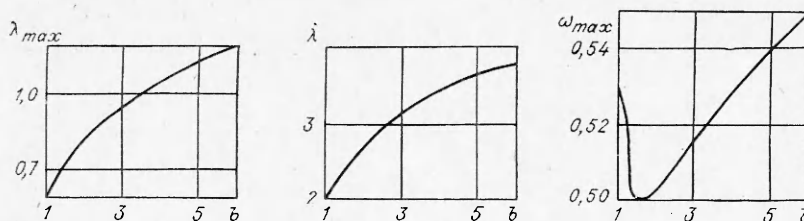
Таблица 2

Точки пересечения \ b	1	1,2	1,5	2	4	6
(1; 1)	0,531 0,958	0,522 0,811	0,506 0,748	0,502 0,781	0,529 1,157	0,548 1,576
(2; 2)	0,554 2,325	0,549 2,045	0,556 2,047	0,567 2,122	0,571 2,145	0,571 2,145
(3; 3)	0,559 3,701	0,560 3,409	0,567 3,487	0,569 3,517	0,569 3,518	0,569 3,518
(1; 2)	0,111	0,059	0,004	0,014	0,003	0,004
(1; 3)	0,114	0,043	0,001	0,001	0,004	0,004
(2; 3)	0,161	0,033	0,005	0,007	0,007	0,007

целый интервал волновых чисел:

$$(4.3) \quad |k_1| < k_{\max} \equiv |2\omega_{\max} / (k_0(c - \bar{c}))|.$$

Значение  $|k_1| = k_{\max}$  соответствует границе области неустойчивости, на которой  $\text{Re } \omega_1 = 0$ . В табл. 2 приведены значения  $\omega_{\max}$  во всех точках пересечения, присутствующих на фиг. 1. Для главных точек пересечения верхнее число в каждой клетке таблицы дает величину  $\omega_{\max}$ , нижнее —  $k_{\max}$ . Видно, что все точки пересечения соответствуют неустойчивым модам. В то же время декременты нарастания в главных точках пересечения ( $i\omega_0 = 0$ ) на один — два порядка больше, чем в боковых. То же на основании (4.3) можно сказать и о ширинах зон неустойчивости  $k_{\max}$ . Исходя из этого, в опытах следует ожидать наблюдения не возвращающихся ( $i\omega_0 = 0$ ) возмущений.



Ф и г. 2

В экспериментах наиболее существенной окажется неустойчивость, соответствующая точке пересечения (1;1). На фиг. 2 приведены зависимости от  $b$  длины полуволны  $\lambda \equiv \pi/k_0 b$ , ширины зоны неустойчивых длин волн  $\lambda_{\max} = (2k_1/k_0 B)\lambda$  и декремента роста  $\omega_{\max}$  в этой точке. Здесь длины отнесены к величине  $b$ , т. е. измерены в единицах невозмущенного радиуса сосуда;  $\lambda_{\max}$  определена так, что неустойчивые моды лежат в интервале от  $\lambda - \varepsilon_0 \lambda_{\max}$  до  $\lambda + \varepsilon_0 \lambda_{\max}$  (см. (1.3)). Поскольку при  $1 < b < 6$  (см. фиг. 2)  $\omega_{\max} \approx 0,5$ , то реальный декремент  $\varepsilon \omega_{\max} = (2\varepsilon_0/B)\omega_{\max}$  с ростом  $b$  падает как  $1/b^2$ . Отметим еще, что при  $b \rightarrow \infty$  следует  $k_0 \rightarrow 0$ . При этом длина волны  $\lambda$  не стремится к конечному пределу, а слабо, но неограниченно растет, так что  $\kappa_1 \approx \ln k_0 - 1/4$  (см. (3.1)).

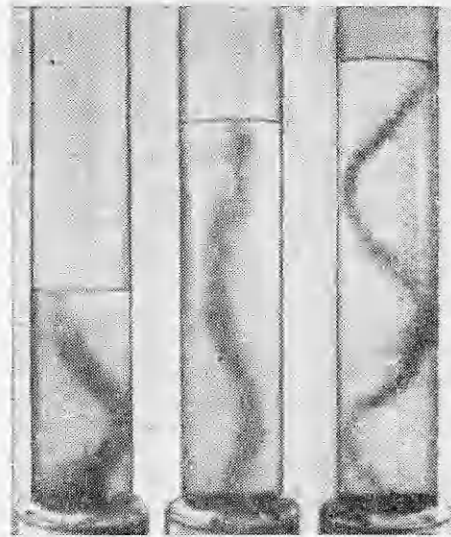
5. Был проведен ряд опытов по регистрации описанной неустойчивости. Использовалась установка, представляющая собой заполненный водой круглый цилиндрический сосуд высотой 120 см и диаметром 18 см, помещенный на вращающийся стол. Вращение происходит вокруг оси симметрии. Внутри сосуда помещалась жестко закрепленная вставка в виде тонкостенного эллиптического цилиндра, изготовленного из пластины тонкого целлулоида. Большая ось эллипса длины  $2a_0$  совпадала с диаметром сосуда, малая — варьировалась в интервале  $2b_0 = 13,5 - 17$  см. Течение внутри эллиптического цилиндра наблюдалось через прозрачные стенки. Типичный эксперимент выглядел следующим образом. Сосуд с водой, налитой до уровня  $L + \delta L$ , приводился в состояние твердотельного вращения со скоростью  $\Omega$ . Затем открывалось отверстие диаметра  $d$ , расположенное в центре дна сосуда. Образующийся линейный вихрь (типа вихря в ванной) визуализировался введением краски. При понижении уровня до высоты  $L$  отверстие закрывалось и через время  $\Delta t$  сосуд резко останавливался. Интервал  $\Delta t$  необходим для перестройки течения от стокового вихря к линейному вихрю с нулевой составляющей осевой скорости. После остановки в некоторых диапазонах  $L$  вихрь остается прямым, а в других наблюдается неустойчивость изгибного типа (фиг. 3). Регистрировалось два параметра неустойчивой моды — скорость ее вращения  $i\omega_0$  и длина  $\lambda$ . Приведем результаты серии опытов с  $\Omega = 0,625$  об/с;  $\varepsilon_0 \approx 0,17$ ;  $\delta L = 15$  см;  $d = 3$  мм;  $\Delta t = 2$  с.

Последовательность картины на фиг. 3 соответствует моментам времени 0; 12; 25 с после остановки при  $L = 90$  см. На фиг. 4 даны картины неустойчивости при различных  $L$  (50; 80; 92 см). Оказалось, что во всех случаях изгибы ядра вихря покоятся в лабораторной системе координат, изменяясь только по амплитуде. Этому соответствует  $i\omega_0 = 0$ , т. е. как раз случай главных точек пересечения (см. п. 4). Слабые отличия  $i\omega_0$  от нуля наблюдались только при больших амплитудах изгибов, когда ядро вихря почти касалось стенки сосуда. Результаты измерений диапазонов  $L$  для неустойчивых мод приведены на левой половине фиг. 5. Заштрихованные участки дают значения  $L/b$ , в которых наблюдается неустойчивость. Каждая зона неустойчивости обозначена цифрой  $n_0 = 1; 2; 3; 4$ , соответствующей гармонике  $n_0 \lambda$ . При  $n_0 = 1$  наблюдается полуволна, при  $n_0 = 2$  — целая волна и т. д. Для сравнения на правой половине фиг. 5 приведены данные [3, 4] о неустойчивости начально твердотельного вращения после остановки сосуда при том же  $\varepsilon_0$ .

Прямые измерения радиуса  $a$  ядра вихря и завихренности  $\Omega_\pi$  в нем для рассматриваемой серии опытов дают значения  $a \approx 2$  см,  $\Omega_\pi \approx 34$  1/с.



Ф и г. 3



Ф и г. 4

Способы измерений состояли в регистрации движения частиц на свободной поверхности и подкрашивании ядра. Теоретически предсказываемые для этих параметров зоны неустойчивости (1; 1) нанесены на оси  $L/b$  (см. фиг. 5) утолщенными отрезками ( $n_0 = 1; 2; 3$ ). Видно, что теория верно отражает основной результат проведенных опытов, состоящий в увеличении длин волн неустойчивых мод  $\lambda$  по сравнению со случаем начально твердотельного вращения [3, 4]. В то же время теоретически предсказанная величина  $\lambda$  (см. фиг. 5) несколько больше измеренной, а ширина зоны неустойчивости  $\lambda_{\max}$  несколько меньше.

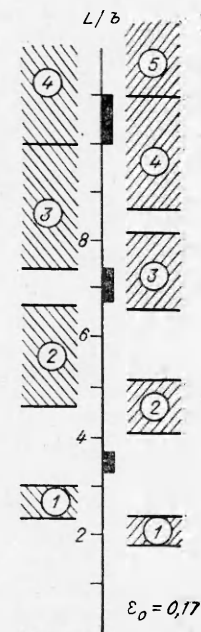
Проводились также опыты с другими значениями параметров  $\varepsilon_0, d, \Omega, \delta L, \Delta t$ . Полученные результаты аналогичны приведенным. При изменениях перечисленных параметров, приводящих к увеличению  $b$ , неустойчивость проявляется все слабее. В теории этому соответствует уменьшение декремента нарастания  $\varepsilon \omega_{\max} \sim 1/b^2$ . В опытах с  $b \geq 10$  неустойчивости вовсе нет.

Сделаем еще несколько замечаний.

1. Для всех главных точек пересечения декремент нарастания почти одинаков. Для объяснения доминирующей роли неустойчивости (1; 1) необходимо, по-видимому, привлекать нелинейную теорию. Интуитивно нелинейные ограничения для других неустойчивостей, соответствующих главным точкам, ясны: для их реализации вихревые линии в соседних цилиндрических слоях должны поворачиваться в противоположные стороны, в то время как неустойчивость (1; 1) дает поворот оси вращения для всего течения в целом.

2. Вычисления смещений главных точек пересечения дисперсионных кривых показывают, что различие между теорией и экспериментом может быть объяснено имеющей место в опытах непотенциальностью окружающего ядро потока. Учет его непотенциальности также приведет, по-видимому, к наблюдаемому уширению зон неустойчивости.

3. Представленная модель может объяснить имеющие место в [3, 4] отклонения теоретических предсказаний длин волн неустойчивых мод от экспериментальных результатов. Для этого следует учесть, что остановка сосуда приводит к быстрой перестройке профиля скорости



Ф и г. 5

посредством турбулентного перемешивания, вызванного центробежной неустойчивостью. Поэтому постоянная завихренность имеет место не во всем течении, а лишь в некотором его ядре, вне которого завихренность существенно меньше. Такая перестройка потока может привести только к увеличению  $\lambda$  (см. фиг. 2), что необходимо для достижения согласования в [3, 4].

4. Постановка опытов отличается от теоретической модели п. 1, 2 наличием свободной поверхности. Контрольные опыты с твердой крышкой показали, что, по крайней мере для постановки типа [3, 4] с начально твердотельным вращением, в диапазоне  $0,25 \text{ об/с} < \Omega < 1,25 \text{ об/с}$  влияние свободной поверхности на параметры неустойчивости оказалось слабым.

5. В постановке опытов присутствует лишняя операция перекрытия отверстия. Она проводилась для выполнения предположения (п. 1) о равенстве нулю осевой составляющей скорости основного течения. При остановке сосуда без перекрытия отверстия тоже наблюдается неустойчивость стокового вихря типа приведенной на фиг. 3, 4. Однако тут необходима более сложная теория.

**Приложение.** Для боковых точек пересечения  $(i\omega_0, k_0)$  справедливы представления

$$\begin{aligned} (\text{П.4}) \quad f &= -A\Psi - H_1\Psi_r + \frac{\sigma}{\Delta} \Psi \left[ -\eta \left( \sigma^2 + \frac{8i}{\sigma} \right) J_0 + (4\eta^2 + \bar{\sigma}^2) J_1 \right], \\ g &= \frac{\sigma}{k_0} A\rho_1 + \frac{1}{k_0} J_1\rho_2 - H_2\Psi_r + \Psi \left( J_1 - \frac{\mu}{\sigma\eta} J_0 \right), \\ h &= -\rho_3\bar{A} + \rho_4\bar{J}_1 + i\omega_0 Q\bar{\eta}SH_3 - \frac{1}{4} \bar{\Psi}_r (\bar{\eta}J_0 - \bar{J}_1) + \\ &+ \frac{\sigma\Psi}{4\Delta} [-\bar{\sigma}\bar{\eta}J_0 + \sigma(i\bar{\sigma} - \bar{\eta}^2)\bar{J}_1]. \end{aligned}$$

Кроме каждой из величин  $\sigma, \eta, \mu, \Delta, J_m, N_m, A, H_1, H_2, H_3, \rho_1, \rho_2, \rho_3, \rho_4, f, g, h$ , существует другая величина, обозначенная той же буквой с чертой сверху. Связывающие их аналитические выражения остаются верными, если каждую из величин без черты (с чертой) заменить на величину, обозначенную той же буквой с чертой (без черты) и мнимую единицу  $i$  заменить на  $-i$ . Примем  $\sigma \equiv \sigma_1; \bar{\sigma} \equiv \sigma_{-1}; \eta \equiv \eta_1; \bar{\eta} \equiv \eta_{-1}; \Delta \equiv \Delta_1; \bar{\Delta} \equiv \Delta_{-1}; \mu \equiv \sigma + 2i; \Psi \equiv \Psi(k_0); \bar{\Psi}_r \equiv \frac{\partial}{\partial r} \Psi(k_0 r)|_{r=1}; Q \equiv 2\pi k_0^2/(\sigma^2\bar{\sigma}^2); J_m$  и  $N_m$  — функции Бесселя и Неймана от аргумента  $\eta; \bar{J}_m$  и  $\bar{N}_m$  — от аргумента  $\bar{\eta}; A \equiv (1/\Delta)(-\sigma\eta J_0 + \bar{\sigma}J_1);$

$$\begin{aligned} H_1 &\equiv \frac{4k_0^2}{\eta\sigma^3} rJ_0; \quad H_2 \equiv -\frac{\Delta}{\sigma^2\eta} rJ_0; \quad H_3 \equiv \Psi_r N_1 + \frac{\sigma\Psi}{\Delta} (-\sigma\eta N_0 + \bar{\sigma}N_1); \\ \rho_1 &\equiv f_0(1) - \frac{M(b)I_1(k_0)}{k_0 I_1'(k_0 b)}; \quad \rho_2 \equiv M(1) - \frac{M(b)I_1'(k_0)}{I_1'(k_0 b)}; \\ \rho_3 &\equiv \frac{i}{2} \Psi + \frac{\sigma}{4} \left[ \Psi_r + \frac{BF(b)I_1(k_0)}{k_0 I_1'(k_0 b)} \right]; \quad \rho_4 \equiv \frac{\sigma}{4\bar{\sigma}} \left[ 2F(1) - \frac{BF(1)I_1'(k_0)}{I_1'(k_0 b)} \right]; \\ f_0(r) &\equiv K_0(k_0 r) + \kappa_1 I_0(k_0 r); \quad M(r) \equiv f_0(r) - k_0 r \Psi_0(k_0 r); \\ F(r) &\equiv -\frac{r}{2} \Psi_{rr}(k_0 r) + \frac{1}{r} \Psi(k_0 r); \quad S \equiv \int_0^1 t^2 J_0(\bar{\eta}t) J_1(\eta t) dt. \end{aligned}$$

Для главных точек пересечения  $(\omega_0 = 0)$  величины  $k_0$  вычисляются из уравнения

$$\Psi_r J_1 + (1/3)\Psi(\eta J_0 + J_1) = 0, \quad \eta = \sqrt{3}k_0.$$



Выражения для  $f$  и  $g$  следуют из (П. 1):

$$f = -\bar{f} = \frac{2i}{3} \left\{ -2\eta J_0 \Psi_r + \frac{1}{3} \Psi [(2\eta^2 + 1) J_1 - 2\eta J_0] \right\},$$

$$g = \bar{g} = \frac{\rho_1}{3k_0} (\eta J_0 + J_1) + \frac{\rho_2}{k_0} J_1 - \frac{3}{\eta} J_0 \Psi_r + \left( J_1 - \frac{3}{\eta} J_0 \right) \Psi.$$

В то же время величина  $h$  в (П. 1) не дает правильного предела при  $\omega_0 \rightarrow 0$ . Это связано с тем, что в промежуточных вычислениях существенно используется  $\omega_0 \neq 0$ . Отдельные вычисления, в которых с самого начала полагается  $\omega_0 = 0$ , дают

$$h = \bar{h} = \rho_5 (\eta J_0 + J_1) + \rho_6 J_1 -$$

$$- (1/4) (3\eta J_0 - J_1) \Psi_r - (\eta/4) (J_0 - \eta J_1) \Psi,$$

$$\rho_5 = \frac{1}{12} \left[ 2\Psi + \Psi_r + \frac{BF(b) I_1(k_0)}{k_0 I_1'(k_0 b)} \right], \quad \rho_6 = -\frac{1}{2} \left[ F(1) - \frac{BF(b) I_1'(k_0)}{2I_1'(k_0 b)} \right].$$

Поступила 12 V 1982

#### ЛИТЕРАТУРА

1. Филиппе О. М. Динамика верхнего слоя океана. Л.: Гидрометеоздат, 1980.
2. Yih C.-S. Instability of surface and internal waves.— Adv. Appl. Mech., 1976, vol. 16, p. 369.
3. Гледзер Е. Б., Должанский Ф. В. и др. Экспериментальное и теоретическое исследование устойчивости движения жидкости внутри эллиптического цилиндра.— Изв. АН СССР. ФАО, 1975, т. 11, № 10.
4. Гледзер Е. Б., Обухов А. М., Пономарев В. М. Об устойчивости движения жидкости в сосудах эллиптического сечения.— Изв. АН СССР. МЖГ, 1977, № 1.
5. Tsai C.-Y., Widnall S. E. The stability of short waves on a straight vortex filament in a weak externally imposed strain field.— J. Fluid Mech., 1976, vol. 73, N 4.
6. Moore D. V., Saffman P. G. Structure of a line vortex in an imposed strain.— In: Proc. Symp. Aircraft Wake Turbulence, Seattle. Washington, 1971.
7. Kelvin Lord. Vibrations of a columnar vortex.— Phil. Mag., 1880, vol. 10, p. 155.
8. Владимиров В. А. К устойчивости течения идеальной несжимаемой жидкости с постоянной завихренностью в эллиптическом цилиндре.— ПМТФ, 1983, № 4.

УДК 532.529.2

### О КОНВЕКТИВНЫХ ДВИЖЕНИЯХ ЖИДКОСТИ В ПОЧТИ ШАРОВОЙ ПОЛОСТИ ПРИ ПОДОГРЕВЕ СНИЗУ

Ю. К. Братухин, Л. Н. Маурин  
(Пермь, Иваново)

1. Как известно [1], жидкость может находиться в механическом равновесии при неоднородном подогреве только в том случае, если градиент температуры в ней вертикален и имеет постоянное значение. Такая ситуация может осуществляться, например, в шаровой полости, ограниченной твердым массивом, с заданным на бесконечности вертикальным (вниз) градиентом температуры.

Рассмотрим влияние на конвективную устойчивость слабого отклонения формы полости от шаровой. Пусть уравнение поверхности полости имеет вид  $r = 1 + sP_2^{(1)} \cos \varphi (P_e^{(m)}(\vartheta))$  — присоединенные полиномы Лежандра;  $r, \vartheta, \varphi$  — полярные координаты; радиус  $R_0$  недеформированного шара принят за единицу;  $s \ll 1$ . Выбор такой специальной формы полости связан с тем, что  $P_2^{(1)} \cos \varphi$  — одна из самых крупномасштабных сферических гармоник, наличие которой в спектре функции, задающей форму реальной полости, приводит к искривлению изотерм в жидкости и, следовательно, к появлению конвективного движения уже при сколь угодно малых градиентах температуры.